

마이크로 프로세서를 이용한 가변구조 갖는
서어보 시스템에 관한 연구

○
이 성범

김 수일

홍 근환

최 승철

숭실대학교 전자공학과

A Study on A Microprocessor-Based Incremental Servo System with Variable Structure.

Sang Bum Lee Su Il Kim Kun Hwan Hong Seung Chul Choi
Soongsil Univ. Dept. of Electronics

Abstract--A microprocessor-based incremental servo system with a variable structure is presented. New system properties are obtained by composing a desired trajectory from the parts of trajectories of different structures. It is implemented with Z-80A microprocessor to control a dc motor, and fast response without overshoot and good steady-state accuracy can be easily obtained.

1. 서 론

최근 마이크로 전자공학의 급속한 발전과 강력한 마이크로 프로세서의 출현으로 N.C공작기계, 산업용 로보트, 사무자동화 기기등의 기능과 지능이 보다 다양화되고 고급화 되어가는 추세에 있다. 따라서 이를 사업용 및 사무용 자동화 기기에 필수적인 서어보 전동기는 보다 높은 정밀도를 갖도록 요구된다. 그동안 개발된 전력 전자공학은 서어보 구성요소의 정밀화에 적응되고 있으며 또한 디지털 신호처리를 실현시키는 마이크로 전자공학의 발전으로 고급 제어이론의 적용이 가능하게 되었다. 최근 이와같은 배경에서 인크리멘탈 서어보 시스템들은 제어기로써 마이크로 프로세서를 이용하고 있다. 고성능 인크리멘탈 서어보 시스템에서는 고정학도, 고속성, 작은 모우버스트등이 요구되는데 대개 시스템의 정적 정학도와 동적 정학도 사이에는 차이가 있어 이 요건을 모두 만족시키기는 어렵다. 특히 제어기를 마이크로 프로세서로 사용할 때는 계산에서 오는 부가적인 시간지연이 있어 그리하다. 지금까지 이 시간지연을 다른 많은 방법들이 제시되어 있는데 본 논문에서는 가변 구조 제어 이론의 원리를 적용시켰다.

가변 구조 제어 시스템(VSS)은 비선형 서어보 제어기의 일종으로서 서어보 기구의 정학한 모임을 구할 수 없는 경우나 모델의 파라미터가 시간이나 부하에 따라 변하는 경우에 유용하다. 즉, VSS는 현재의 시스템의 여러값과 그의 미분값의 상태에 따라 시스템의 운행중에 일부러 시스템의 구조를 변화시키는 방법이다. 이러한 VSS의 특징은: (1) 정적 정학도와 동적 정학도의 차이를 해결할 수 있으며, (2) 계통의 파라미터나 외란이 시변인

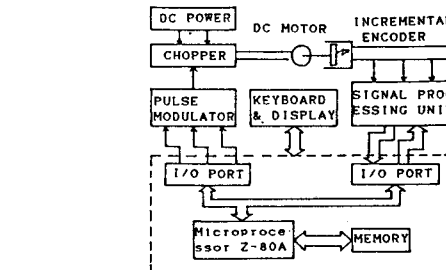


그림 1. 마이크로 프로세서를 이용한 가변구조 갖는 서어보 시스템.
Fig. 1. Microprocessor-based incremental servo system.

경우에도 예리가 영으로 수렴하는 것이 보장되고, (3) PID제어기에서는 제어기의 파라미터 설정에 다소 어려움이 있으나 이 방식은 설계가 간단하다.

2. 시스템 구성

전체 시스템 구성도는 그림 1과 같다. 일반적으로 큰 토크오브를 발생시키는 영구 자석형 직류 전동기, 8비트 마이크로 컴퓨터 시스템, 증분형 앤코더, 브리지형 PWM증폭기로 구성된 인크리멘탈 서어보 시스템이다. 여기서 직류 전동기는 PWM증폭기에 의해 구동되는데 퀄스풀 제어방식의 초기회로의 동작은 바이풀라 및 유니풀라형, 리미티드 유니풀라형으로 대체될 수 있다. 본 논문에서는 전동기 양단 전압의 극성에 따라 스위칭의 순서가 결정되는 리미티드 유니풀라형을 사용하였다. 그림 2는 계란 신호 처리회로의 구성도를 나타내는데 속도 및 위치량의 검출은 전동기에 부착된 증분형 앤코더로부터 발생되는 90°의 위상차를 갖는 두개의 퀄스얼(X_a, X_b)에 의해 결정 할 수 있다. PWM의 발생은 Intel사의 82553소자를 여러 모드로 조합하여 사용하였다. 제어개의 기준입력과 동작상태를 감지하기 위한 키보드와 디스플레이를 위해 C PU의 부담을 줄이고 회로를 간단히 할 수 있는 Intel사의 8279소자를 사용하였다. 그리고 Z-80A를 사용한 마이크로 컴퓨터 시스템은 (1) 위치 영향 신호를 결정하고, (2) 증폭기의 트리거 회로에 PWM제어 신호를 공급하고, (3) 계란값으로 얻은 시스템의 예리 신호에 따라 현재 시스템의 구조를 바꿀 것인가를 결정하는데 사용하였다.

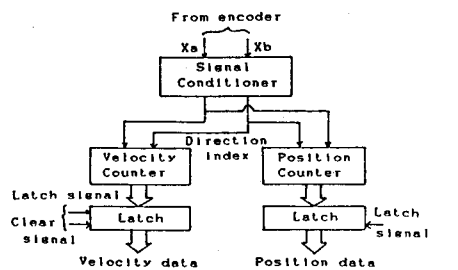


그림 2. 피드백 신호 처리 회로도.
Fig. 2. Block diagram of feedback signal processing circuit.

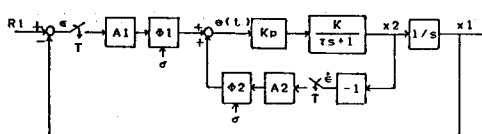


그림 3. 가변 구조 제어 시스템의 회로도.
Fig. 3. Block diagram of variable structure control system.

3. 가변 구조 제어의 적용

위의 시스템에 가변 구조 제어 이론을 적용시킨 전체 시스템 등가 구성도를 그림 3에 나타내었다. 전동기와 부하의 전달 힘수는 1차로 간략화 하였고 본 논문의 경우 $K = 29.3 \text{ rpm/V}$ 이고 $\tau = 0.195 \text{ s}$ 이다. 또 한 K_p 는 PWM증폭기의 이득을 나타낸다.

비록 실제의 시스템은 이산 시스템으로 동작하지만 초퍼 외로의 주파수(10KHz)가 시스템의 시정수(0.195 s)보다 충분히 크므로 연속 시간 시스템 용답을 분석해 낼수있다. 만일 위치 기준입력 τ 이 계단 힘수이고 위치 출력을 x_1 이라 하면,

위치 예리는,

$$\begin{aligned} e &= \tau - x_1 & t > 0 \\ \dot{e} &= de/dt = -dx_1/dt \\ \ddot{e} &= d\dot{e}/dt = -d^2x_1/dt^2 \end{aligned}$$

전체 시스템 예리 방정식은,

$$\tau \ddot{e} + (1 + KK_p A_2 \Phi_2) \dot{e} + KK_p A_1 \Phi_1 e = 0$$

시스템 구조의 변화는 예리 평면(e, \dot{e})에서 현재의 값이 스忤칭 직선을 통과 할때 이루어 진다. 즉 스忤칭 소자 Φ_1, Φ_2 가 다음의 특성을 갖도록 하여 마이크로 프로세서에 의해 스忤칭 동작이 실현된다.

$$\Phi_1 = \begin{cases} 1, & \text{if } e \geq 0 \\ -1, & \text{if } e < 0 \end{cases}$$

$$\Phi_2 = \begin{cases} 1, & \text{if } \dot{e} \geq 0 \\ -1, & \text{if } \dot{e} < 0 \end{cases}$$

여기서 $\sigma = \dot{e} + ce$ 이고 c 는 임의의 상수이다.

즉 예리 평면(e, \dot{e})은 스忤칭 직선과 두축($e = 0, \dot{e} = 0$)에 의해 그림 4와 같이 6개의 소구간으로 나누어진다. 각 소구간에서 시스템의 동작이 Φ_1, Φ_2 의 값에 의해 다음과 같이 다른 미차 방정식의 형태로 나타내어진다.

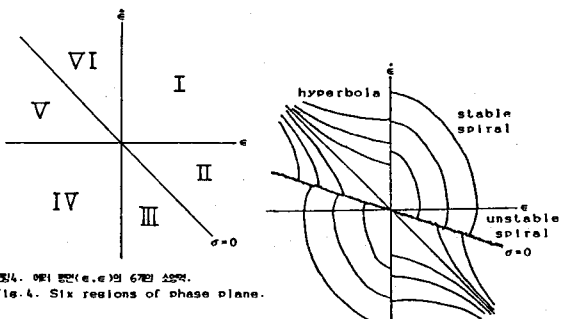


그림 4. 예리 평면(e, \dot{e})의 6개의 소구간.
Fig. 4. Six regions of phase plane.

그림 5. 전체 시스템의 궤적.
Fig. 5. Phase trajectories of system.

1) 영역 I, IV : $\Phi_1 = 1, \Phi_2 = 1$

$$\tau \ddot{e} + (1 + KK_p A_2) \dot{e} + KK_p A_1 e = 0$$

이 영역에서 안정 나선 궤적을 만들려면 다음의 조건이 만족되어야 한다.

$$(1 + KK_p A_2) < 4KK_p A_1 \tau$$

2) 영역 II, V : $\Phi_1 = 1, \Phi_2 = -1$

$$\tau \ddot{e} + (1 - KK_p A_2) \dot{e} + KK_p A_1 e = 0$$

이 영역은 응답 속도를 개선하기 위해 비안정 나선 궤적을 만들려면 다음의 조건이 만족되어야 한다.

$$(1 - KK_p A_2) < 4KK_p A_1 \tau$$

$$(1 - KK_p A_2) < 0$$

3) 영역 III, VI : $\Phi_1 = -1, \Phi_2 = 1$

$$\tau \ddot{e} + (1 + KK_p A_2) \dot{e} - KK_p A_1 e = 0$$

이 영역에서 특성방정식의 근들은 다른 부호를 갖는 실값($s_1 < 0 < s_2$)이 된다. 그러므로 상태 궤적은 두개의 점근선 $\sigma_1 = \dot{e} + s_1 e = 0, \sigma_2 = \dot{e} + s_2 e = 0$ 을 갖는 쌍곡선을 이루게된다.

각 영역들의 전체 상태 궤적을 그림 5에 나타내었다. 즉, 시스템의 e, \dot{e} 가 시간에 따라 이 궤적을 운행한다고 볼 수 있는데 만일 현재의 상태가 영역 II(또는 영역 V)에서 스忤칭 직선을 만나게 되면 시스템의 구조가 순간적으로 나선 궤적에서 쌍곡선 궤적으로 바뀌고 또는 그 역으로 쌍곡선 궤적에서 나선 궤적으로 바뀌게 된다. 이러한 방법으로 나선과 쌍곡선의 궤적이 스忤칭 직선에 대해 반대 방향을 이루고 있으므로 결과적으로 시스템의 상태가 이 스忤칭 직선을 따라 원점으로 움직이게 된다. 이러한 방법을 보통 슬라이딩 모드라 부른다.

4. 제어 프로그램

가변 구조 이론을 적용시킨 제어 프로그램을 그림 6에 나타내었다. 초기화 프로그램은 스택을 초기화 시키고 인터페이스 소자의 모드를 설정하고 키보드로부터 위치 입력을 받는 프로그램으로 구성되었다. 기준값 입력 프로그램은 속도 루프 이득 A1, 위치 루프 이득 A2, 스忤칭 직선의 기울기를 결정하는 상수 C 등의 제어 파라미터를 포함한다. 그 다음 8253소자에서 인터럽트를 1ms마다 Z-80A에 걸면 그때마다 속도 캐운터와 위치 캐운터의 값을 입력해 드린다. 이 측정된 입력값과 기준입력을 비교하여 예리 e, \dot{e} 가 결정되고, 그에 따라 Φ_1, Φ_2 의 값이 결정된다.

그러면 제어 신호 $e(t) = A_1\phi_1e + A_2\phi_2\dot{e}$ 에 의해 PWM이 발생되고 이 것이 트리거 회로를 제어하게 된다.

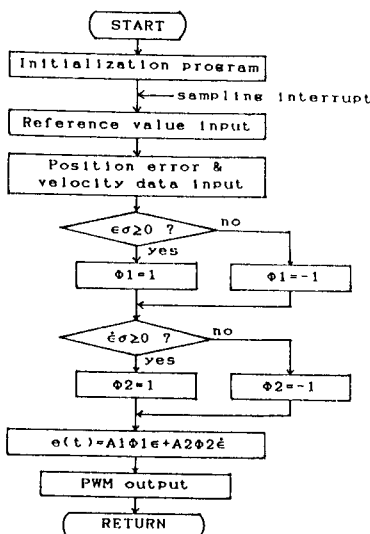


그림6. 가변 구조 제어 프로그램의 흐름도.
Fig.6. Flow chart of control program.

5. 실험 결과 및 고찰.

직류 전동기 서보 시스템을 구성하여 실험을 하였다. 그림7에는 시간에 따라 시스템의 에러 e , \dot{e} 의 상태 변화에 따른 궤적을 나타내었고 그림8에는 속도 루프 이득 A_1 , 위치 루프 이득 A_2 , 상수 c 를 변화 시켜가며 가변 구조 제어 시스템의 계단 함수 응답을 보았다. 그 결과 VSS는 시스템을 고정시킨 제어 시스템의 특성에 비해 모터 슈무트가 없는 빠른 응답과 정상 상태에서 좋은 정확성을 보이고 있다. 또한 제어 파라미터 이득 A_1 , A_2 나 상수 c 의 변화에도 불구하고 위치 모자가 영으로 수렴하는 것을 보이고 있어 VSS가 불감성을 지니고 있음을 보여주고 있다. 이와 같이 가변 구조 제어가 모터 슈무트가 없이 빠른 응답을 보이는 이유는 슬라이딩 모드의 동작에 의한 것이다. 즉 이론적으로 에러 평면(e , \dot{e})에서 현재의 상태값이 스위칭 직선을 통과할 때 시스템의 구조가 순간적으로 바뀌어 그 움직임이 $\dot{e} + c\dot{e} = 0$ 로 설명되므로 이 일차 방정식에 의해 모터 슈무트가 없음이 보장되고 또한 이득 A_1 , A_2 나 상수 c 를 크게 힘으로써 더 빠른 응답을 얻을 수 있다. 실제의 경우에는 스위칭이 이루어지는데 시간 차연이 존재하여 스위칭 직선을 따라 작은 진동의 원인이 된다. 만일 이 시간 차연이 심각하지 않다면 슬라이딩 모드는 이론적인 경우와 같이 계속 유효하다. 본 논문에서는 이것을 확인 할 수 있었다.

6. 결 론.

본 논문에서는 마이크로 프로세서를 이용하여 인크리멘탈 서보 시스템을 꾸며 가변 구조 제어 이론을 적용시켜 보았다. 그 결과 시스템이 모터 슈무트가 없는 빠른 응답 특성과 파라미터의 변동에 대해 불감도를 갖는 특성을

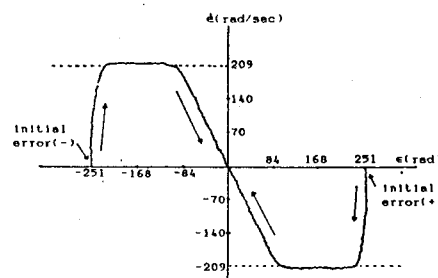


그림7. 시간에 대한 시스템의 에러 상태 변화.
Fig.7. Phase trajectory of VSS.

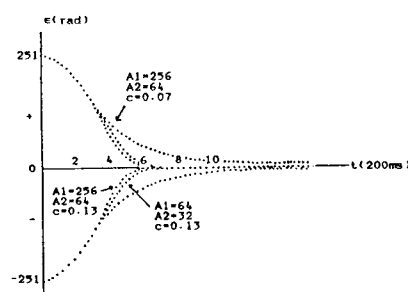


그림8. 가변 구조 제어 시스템의 계단 응답.
Fig.8. Step response of VSS.

보였다. 또한 간단한 프로그램으로 제어가 간단하여 샘플링 인터벌 시간을 줄일 수 있어 원하는 경과에 빠르고 정확하게 도달되는 것을 보았다. 즉 본 방법은 인크리멘탈 서보 시스템에 대해 강력한 제어 능력을 갖고 있으며 앞으로 이를 바탕으로 비선형 서보 제어기의 더 큰 발전이 기대된다.

참 고 문 헌

- (1) P.M.Derusso, R.J.Roy & C.H. Close, "State Variables for Engineers", John Wiley & sons, 1965
- (2) S.C.Lin & S.J.Tsai, "A Microprocessor-Based Incremental Servo System with Variable Structure", IEEE Trans. I.E., vol.I E-31, no.4, pp.313-316, NOV. 1984
- (3) V.I.Utkin, "Variable structure systems with sliding mode" IEEE Trans. Auto. Cont., vol.AC-22, no.2, pp.212-222, APR. 1977
- (4) Carl T. Helmers, "Robotics age-in the beginning", N.J.Hayden book Inc. 1983
- (5) Benjamin C. Kuo & Jacob Tsai, "Incremental Motion Control Systems", SRL Publishing Company, 1978